

## Sprawozdanie 11

### Aproksymacja sygnału okresowego przy użyciu FFT

#### 1. Wstęp teoretyczny

**Szybka transformacja Fouriera (Fast Fourier Transform, FFT)** – algorytm wyznaczania dyskretnej transformaty Fouriera oraz transformaty do niej odwrotnej.

Najpopularniejszą wersją algorytmu FFT jest FFT o podstawie 2. Jest on bardzo efektywny pod względem czasu realizacji, jednak wektor próbek wejściowych (spróbkowany sygnał) musi mieć długość  $N = 2^k$  gdzie  $k$  to pewna liczba naturalna. Wynik otrzymuje się na drodze schematycznych przekształceń.

Najprostszy algorytm FFT to radix-2 (Cooley-Tukey). Algorytm polega na znalezieniu współczynników transformaty Fouriera (DFT)  $c_k$ , ale wykonując jak najmniej obliczeń.

Zakładamy, że całkowita liczba węzłów jest potęgą 2:

$$x_j = \frac{2\pi}{N}j, \quad j = 0, 1, 2, \dots, N-1, \quad N = 2^r, r \in \mathbb{N} \quad (1)$$

Zatem:

$$c_k = \sum_{j=0}^N f_j \exp(-I \frac{2\pi}{N} jk) \quad (2)$$

Osobno grupujemy składniki:

Parzyste  $j = 2m$ :

$$c_k = \sum_{m=0}^{\frac{N}{2}-1} f_{2m} \exp(-I \frac{2\pi}{N} (2m)k) + \sum_{m=0}^{\frac{N}{2}-1} f_{2m+1} \exp(-I \frac{2\pi}{N} (2m+1)k) \quad (3)$$

Niparzyste  $j = 2m+1$ :

$$c_k = \sum_{m=0}^{\frac{N}{2}-1} f_{2m} \exp(-I \frac{2\pi}{N} mk) + \exp(-I \frac{2\pi}{N} k) \sum_{m=0}^{\frac{N}{2}-1} f_{2m+1} \exp(-I \frac{2\pi}{N} mk) \quad (4)$$

Korzystając z okresowości powyższych wyrazów nie musimy wyznaczać wszystkich współczynników – tylko połowę.

## 2. Problem

Naszym zadaniem było zastosowanie FFT do odsumienia sygnału periodycznego. Sygnał zaszumiony generowaliśmy zgodnie z poniższym wzorem:

$$y(i) = \sin(\omega \cdot i) + \sin(2\omega \cdot i) + \sin(3\omega \cdot i) + \Delta \quad (5)$$

gdzie:  $i = 0, 1, 2, \dots, N - 1$  – numer próbki sygnału,

$\omega = 2 \frac{2\pi}{N}$ ,  $N = 2^k$  – ilość wygenerowanych próbek,

$$\Delta = 2 \cdot \frac{\text{rand}()}{\text{RAND\_MAX} + 1.0} - 1$$

Najpierw wygenerowaliśmy zaszumiony sygnał, zgodnie ze wzorem(5), i zapisaliśmy go do wektora typu *double*. Długość wektora wynosiła  $2N$ ,  $N = 2^k$ , kolejno dla  $k = 8, 10, 12$ .

Następnie wyznaczyliśmy transformatę sygnału korzystając z funkcji biblioteki **GSL**:

**gsl\_fft\_complex\_radix2\_forward (gsl\_complex\_packed\_array y, size\_t sride, size\_t N),**

gdzie:  $y$  – tablica z sygnałem (typ *gsl\_complex\_packed\_array* odpowiada naszej jednowymiarowej tablicy),  
stride – parametr równy 1 (krok pomiędzy elementami w tablicy),  
 $N = 2^k$

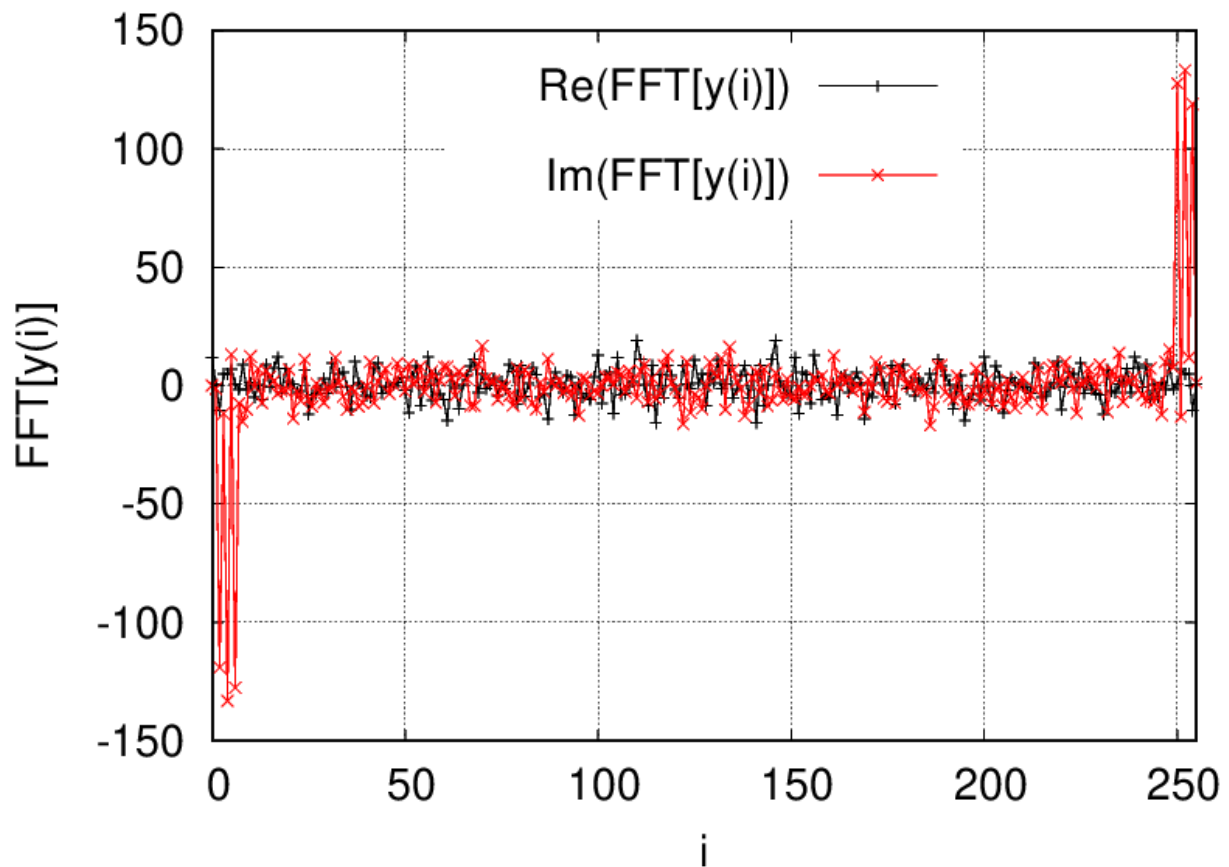
Dalej przeprowadziliśmy dyskryminację sygnału na poziomie  $\max(\frac{|c_k|}{2})$ , to znaczy że trzeba było znaleźć element o maksymalnym module, i wyzerować wszystkie elementy których moduł był mniejszy od  $\frac{1}{2} c_{kmax}$ .  
Ostatnie co zrobiliśmy to wyznaczyliśmy transformatę odwrotną korzystając z funkcji biblioteki **GSL**:

**gsl\_fft\_complex\_radix2\_backward (gsl\_complex\_packed\_array y, size\_t sride, size\_t N),**

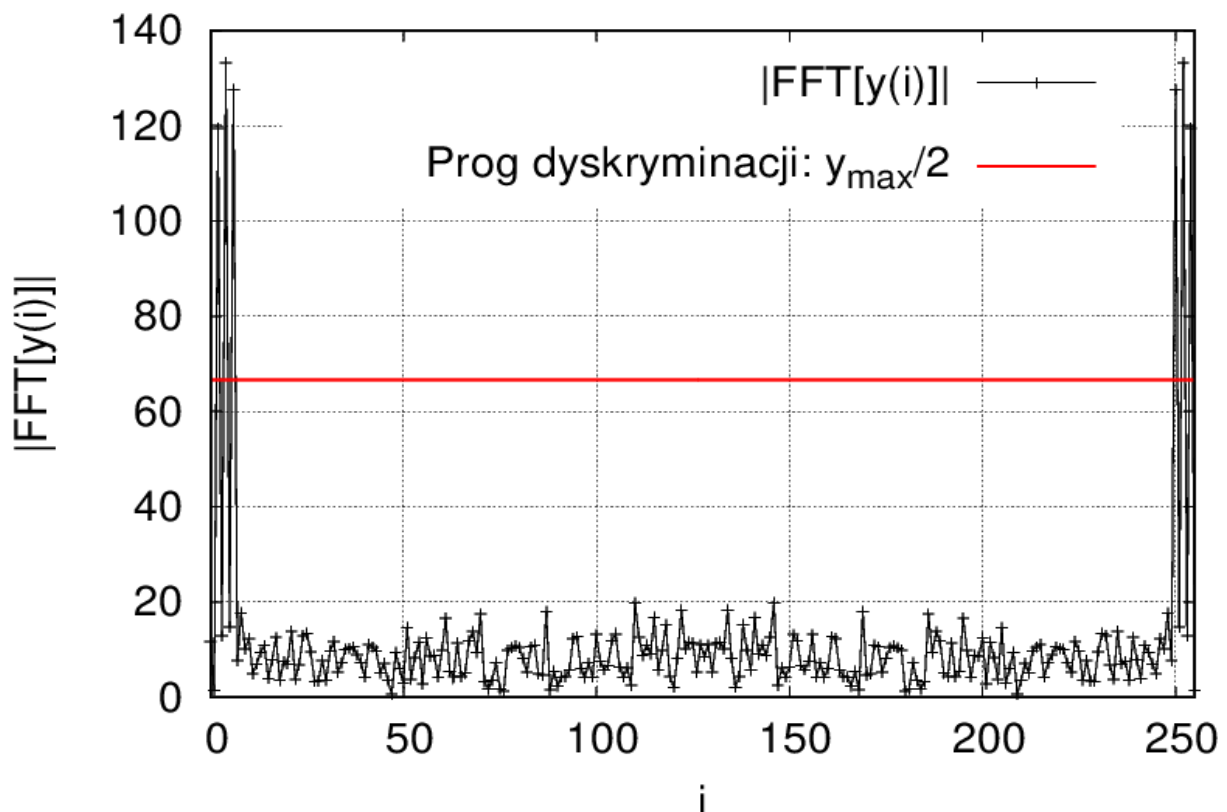
która przyjmuje argumenty analogiczne do funkcji **gsl\_fft\_complex\_radix2\_forward**.

### 3. Wyniki

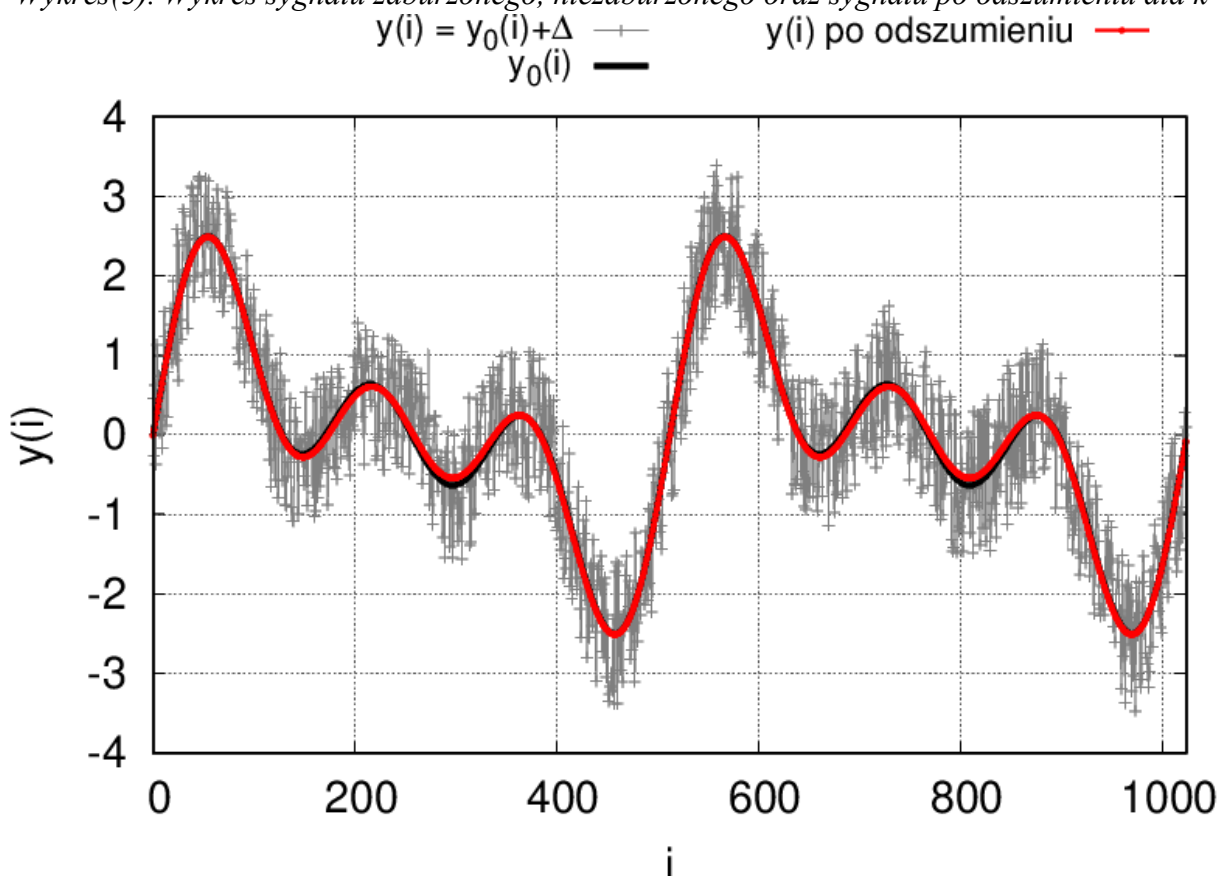
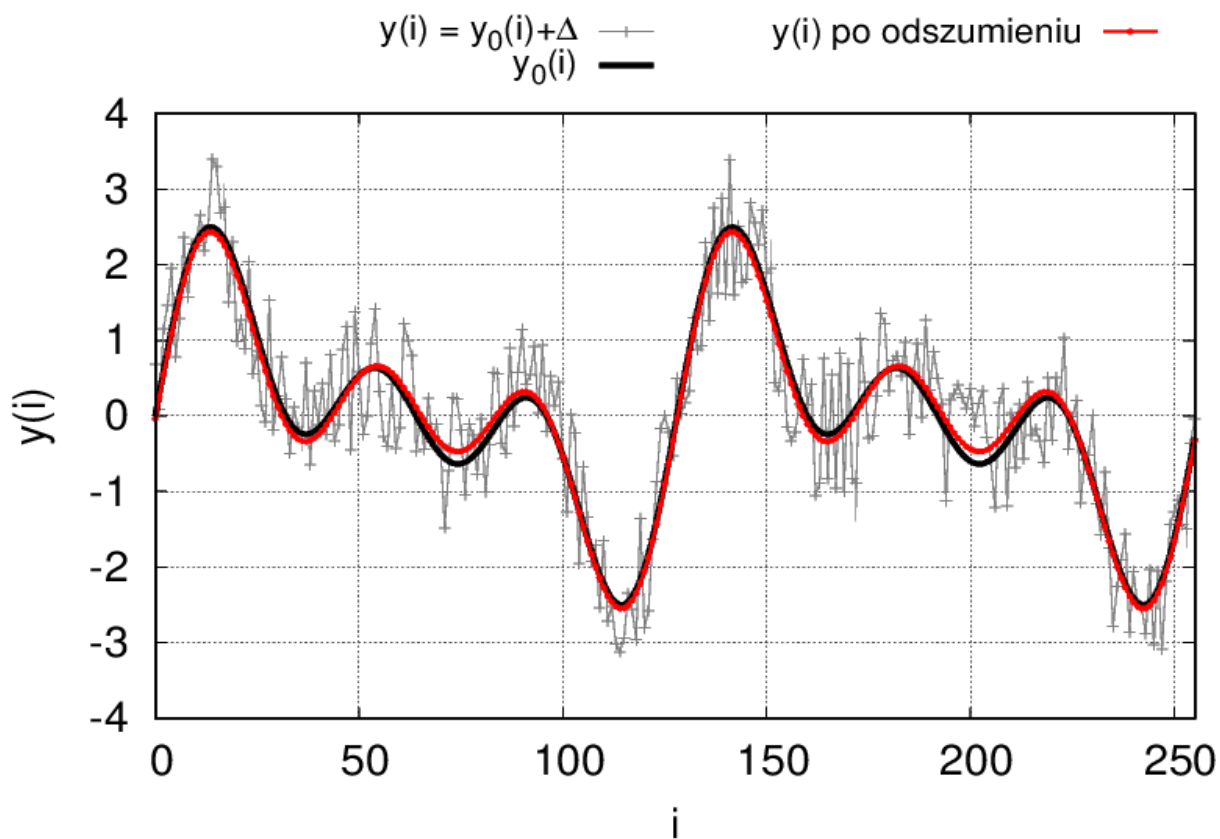
Aproksymację przeprowadzono kolejno dla  $k = 8, 10, 12$ . Dodatkowo dla  $k=8$  przedstawiono wykres części rzeczywistej i urojonej transformaty oraz moduł liczby zespolonej w zależności od numeru iteracji.

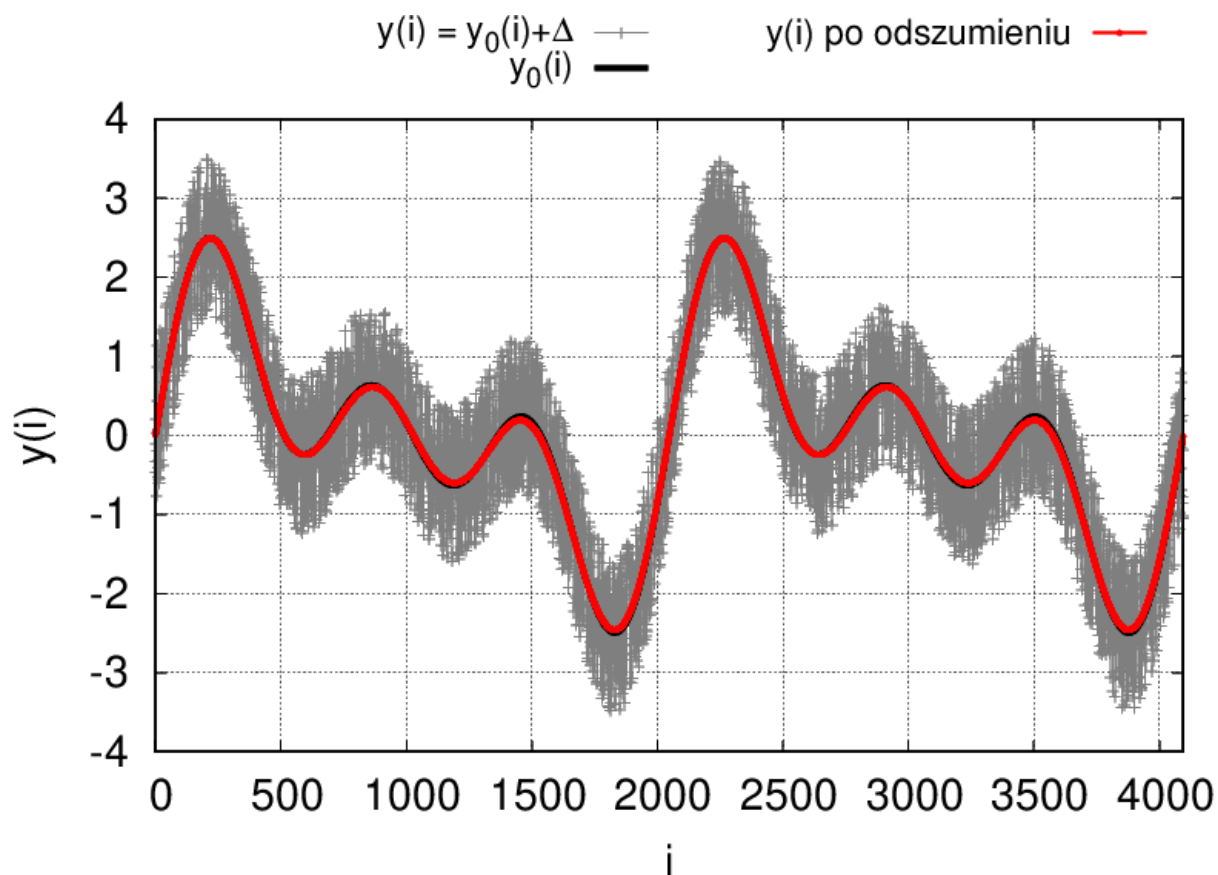


Wykres (1). Część rzeczywista i urojona transformaty. ( $k=8$ )



Wykres (2). wartości modułów współczynników transformaty ( $k=8$ )





Wykres(5). Wykres sygnału zaburzonego, niezaburzonego oraz sygnału po odsumieniu dla  $k=10$

#### 4. Wnioski

Dla każdej ilości próbek zaburzony sygnał został odsumiony. Z rysunków 3-5 można zauważyć że zwiększając liczbę próbek odsumienie bardziej się pokrywa z niezaburzonym sygnałem. Częstotliwość próbkowania ma zatem wpływ na dokładność procesu odsumiania.